

**СРАВНИТЕЛЬНЫЙ АНАЛИЗ ЭКСПЕРИМЕНТАЛЬНО-ТЕОРЕТИЧЕСКИХ
РЕЗУЛЬТАТОВ ДЛЯ КОНИЧЕСКОЙ ПРУЖИНЫ С ЭФФЕКТОМ ПАМЯТИ
ФОРМЫ, ИЗГОТОВЛЕННОЙ ИЗ СПЛАВА ТН-20**

Абдыжапар Асылбек - преподаватель, Кафедра «Механика и промышленная инженерия»,
Кыргызский государственный технический университет им. И. Рazzакова, г. Бишкек,
720044, пр. Ч. Айтматова, 66, тел.: +996312545150, abdyjaparasylbek@gmail.com

Абдрахманов Сарбагыш Абдрахманович - д.ф.-м.н., проф., Кафедра «Механика и
промышленная инженерия, Кыргызский государственный технический университет им.
И. Рazzакова, г. Бишкек, 720044, пр. Ч. Айтматова, 66, тел.: +996312545150
abdrahmanov7@rambler.ru

Доталиева Жаныгул Жолдошибаевна - к.ф.-м.н., доц., Кафедра "Механика и промышленная инженерия, Кыргызский государственный технический университет им. И. Раззакова, г. Бишкек, 720044, пр. Ч. Айтматова, 66, тел.: +996312545150 zh.dotalieva@gmail.com

Джолдошибаева Мэрим Бактыбековна - преподаватель, Кафедра "Механика и промышленная инженерия Кыргызский государственный технический университет им. И. Раззакова, г. Бишкек, 720044, пр. Ч. Айтматова, 66, тел.: +996312545150 meerimdzholdoshbaeva@gmail.com

В работе приводится анализ и сравнение результатов, полученных аналитически и экспериментально, для конических пружин, обладающих эффектом памяти формы, изготовленных из сплава ТН-20. Определена величина параметра упрочнения материала, обеспечивающая достаточно хорошее совпадение экспериментальных и теоретических результатов.

Ключевые слова: коническая пружина, осевое удлинение, кручение, изотермическое нагружение, память формы, реактивное усилие.

**COMPARATIVE ANALYSIS
OF EXPERIMENTAL AND THEORETICAL RESULTS FOR THE CONIC SPRING WITH
EFFECT OF THE SHAPE MEMORY MADE OF TN-20 ALLOY**

Abdyjapar Asylbek - lecturer, Department "Mechanics and Industrial engineering", Kyrgyz State Technical University named by I. Razzakov, Bishkek, 720044, Ch. Aytmatov av., 66, tel.: +996312545150 E-mail: abdyjaparasylbek@gmail.com

Abdrachmanov Sarbagysh - d.ph.m.s., prof., Department "Mechanics and Industrial Engineering", Kyrgyz State Technical University named by I. Razzakov, Bishkek, 720044, Ch. Aytmatov av., 66, tel.: +996312545150 E-mail: abdrahmanov7@rambler.ru

Dotalieva Janygul - c.ph.m.s., ass. Prof., Department "Mechanics and Industrial engineering", Kyrgyz State Technical University named by I. Razzakov, Bishkek, 720044, Ch. Aytmatov av., 66, tel.: +996312545150 E-mail: zh.dotalieva@gmail.com

Dzholdoshbaeva Meerim - lecturer, Department "Mechanics and Industrial engineering", Kyrgyz State Technical University named by I. Razzakov, Bishkek, 720044, Ch. Aytmatov av., 66, tel.: +996312545150 E-mail: meerimdzholdoshbaeva@gmail.com

The analysis and comparison of the results, received analytically and experimentally, for the conic springs with the effect of shape memory, made of TN-20 alloy, is provided in work. The material hardening parameter size, providing rather good coincidence of experimental and theoretical results, is determined.

Keywords: conic spring, axial lengthening, torsion, isothermal loading, shape memory, recovery force.

В данной статье приведены результаты аналитического определения реактивных усилий конических пружин, растянутых за предел упругости. Они возникают в результате стеснённого формовосстановления пружины после её разгрузки и последующего нагревания. Данная задача разбита на три этапа: 1) получение характеристики пружины за пределом упругих деформаций, т.е. зависимости «нагрузка-осевое перемещение» ($P \sim \lambda$); 2) разгрузка и определение величин остаточных перемещений $\lambda_{ост}$; 3) нагрев пружины в области температур фазовых превращений и определение генерируемых при этом реактивных усилий.

При решении 1-го этапа данной задачи принимались следующие исходные положения. В начале пружина деформируется изотермически в области существования устойчивой мартенситной фазы при температуре T_0 . При растяжении пружины витки её работают, в основном, на кручение. Диаграмма сдвига материала в мартенситном состоянии принята в виде двухзвенной ломаной с модулями сдвига G_M и nG_M , где n – параметр упрочнения ($0 \leq n \leq 1$).

Значение крутящего момента M и относительного угла закручивания прутка θ , при котором заканчивается упругая работа пружины, определяются формулами:

$$M_{\text{фт}} = \tau_{\text{фт}}^M W_\rho; \quad \theta_{\text{фт}} = \frac{\tau_{\text{фт}}^M}{G_M \cdot r_0}. \quad (1)$$

Здесь $\tau_{\text{фт}}^M$ – касательное напряжение, соответствующее началу фазовой текучести материала в мартенситном состоянии; W_ρ – момент сопротивления кручению; r_0 – радиус прутка.

Для определения осевого перемещения используется следующая зависимость:

$$d\lambda = r^2 \theta(M) d\varphi. \quad (2)$$

Здесь $\theta(M)$ – относительный угол закручивания прутка, зависящий от крутящего момента $M = P \cdot r$; r – текущий радиус пружины; φ – угловая координата.

Известно [1], что использование формулы (2) в упругом случае приводит к следующим результатам:

– для пружин с постоянным углом подъёма:

$$\lambda = \frac{P(r_2^3 - r_1^3)}{3G_M J_\rho \cdot m}, \quad (3)$$

где

$$m = \frac{1}{2\pi i} \ln \frac{r_2}{r_1}.$$

– для пружин с постоянным шагом:

$$\lambda = \frac{P(r_2^4 - r_1^4)}{4G_M J_\rho \cdot t}, \quad (4)$$

где

$$t = \frac{r_2 - r_1}{2\pi i}.$$

В этих формулах: i – количество витков, r_1 , r_2 – наименьший и наибольший радиусы пружины, $G_M \cdot J_\rho$ – жёсткость прутка на кручение в мартенситном состоянии.

Для нахождения перемещений пружины в неупругой области её деформирования необходимо определить функцию $\theta(M)$, входящую в формулу (2). Для рассматриваемого случая функция, обратная $\theta(M)$, т.е. $M(\theta)$ приведена в работе [2], а методика обращения этой функции в зависимость $\theta(M)$ изложена в нашей работе [3]. Введём безразмерные величины $\bar{\theta} = \frac{\theta}{\theta_{\text{фт}}}$ и $\bar{M} = \frac{M}{M_{\text{фт}}}$.

Замечая, что функция $\bar{\theta}(\bar{M})$ при больших значениях $\bar{\theta}$ обладает асимптотой, она разбита на два участка. Первый участок, где $(1 \leq \bar{\theta} \leq \bar{\theta}_*)$, аппроксимирован параболой, а второй участок при $\bar{\theta} > \bar{\theta}_*$ заменён прямой, параллельной асимптоте. Таким образом, имеем:

$$\bar{\theta}(\bar{M}) = a_0 + a_1 \bar{M} + a_2 \bar{M}^2, \quad (1 \leq \bar{M} \leq \bar{M}(\bar{\theta}_*)) \quad (5)$$

$$\bar{\theta}(\bar{M}) = b_0 + b_1 \bar{M}. \quad (\bar{M} > \bar{M}(\bar{\theta}_*)) \quad (6)$$

Заметим, что случай $\bar{\theta} < 1$ соответствует упругой деформации пружины. Здесь величина $\bar{\theta}_*$ выбрана таким образом, чтобы разность между функцией $M(\theta)$ и её асимптотой

не превышала 5%. Коэффициенты a_i , а также величина θ_* , входящие в формулы (5) и (6), зависят от параметра упрочнения материала n и определяются из условия наилучшего совпадения аппроксимирующей и действительной кривой. Значения коэффициентов a_i и величина θ_* рассчитаны для различных n и приведены в таблице 1.

Таблица 1

n	θ_*	a_0	a_1	a_2	b_0	b_1	b_2
0,01	1,731	-0,262	1,774	-0,513	14,060	-25,412	12,352
0,05	1,700	-0,269	1,775	-0,505	10,130	-18,116	8,986
0,15	1,628	-0,315	1,817	-0,503	4,973	-8,535	4,563
0,25	1,557	-0,353	1,849	-0,496	2,842	-4,537	2,696
0,30	1,516	-0,372	1,866	-0,494	2,219	-3,358	2,139

Рассмотрим разные этапы работы пружины.

Упругая работа. В этом случае растягивающая пружину сила должна быть меньше чем $P_{\text{фт}}^M$. Очевидно,

$$P_{\text{фт}}^M = \frac{M_{\text{фт}}}{r_r}. \quad (7)$$

При силе $P > P_{\text{фт}}^M$ в пружине образуются две зоны: упругая неупругая. Граница раздела двух зон определяется радиусом:

$$r_{\text{фт}} = \frac{M_{\text{фт}}}{P}. \quad (8)$$

При силе $P > P_*$ образуется еще одна зона. Очевидно, что значение силы при этом равно:

$$P_* = \frac{M_*}{r_2}. \quad (9)$$

Здесь величина момента M_* определяется из зависимости $M(\theta)$ при $\theta = \theta_*$, т. е. $M_* = M(\theta_*)$.

При нагрузке $P_{**} = M_{\text{фт}}/r_1$ чисто упругая зона исчезает, а при нагрузке $P > P_{***} = M_*/r_1$

функция $\theta(M)$ определяется только выражением (6).

Интегрируя уравнение (2) с использованием зависимостей $\theta(M)$, получены безразмерные формулы $\bar{P} \sim \bar{\lambda}$ для различных этапов нагружения пружины, где $\bar{P} = P/P_{\text{фт}}^M$; $\bar{\lambda} = \lambda/\lambda_{\text{фт}}^M$, здесь

$\lambda_{\text{фт}}^M$ равно значению λ при силе $P = P_{\text{фт}}^M$, $\eta = r_1/r_2$, $\bar{P}_* = P_*/P_{\text{фт}}^M$, $\bar{P}_{**} = P_{**}/P_{\text{фт}}^M$, $\bar{P}_{***} = P_{***}/P_{\text{фт}}^M$.

Безразмерные графики $\bar{P} \sim \bar{\lambda}$ в зависимости от параметра упрочнения n построены на рис. 1,а. при $\eta = 0,5$. Эти графики являются характеристиками конической пружины за пределом упругих деформаций.

В работе [4] приводятся размерные графики $P - \lambda$ для конкретной конической пружины, изготовленной из сплава TH-20. Она имеет следующие параметры: $i = 6$, $r_1 = 14 \cdot 10^{-3}$ м, $r_2 = 17,5 \cdot 10^{-3}$ м, $\eta = 0,8$, $P_{\text{фт}} = 4,3$ Н, $\lambda_{\text{фт}} = 65 \cdot 10^{-3}$ м. Если привести эти графики в безразмерный вид, они с точностью до 4% совпадут с результатами расчётов, выполненных по вышеприведённым формулам в пределах рассматриваемых нами перемещений пружин, для параметра упрочнения $n = 0,23$. Эти графики показаны на рис. 1,б.

Таким образом, для сплава ТН-20 можно принять параметр упрочнения $n = 0,23$.

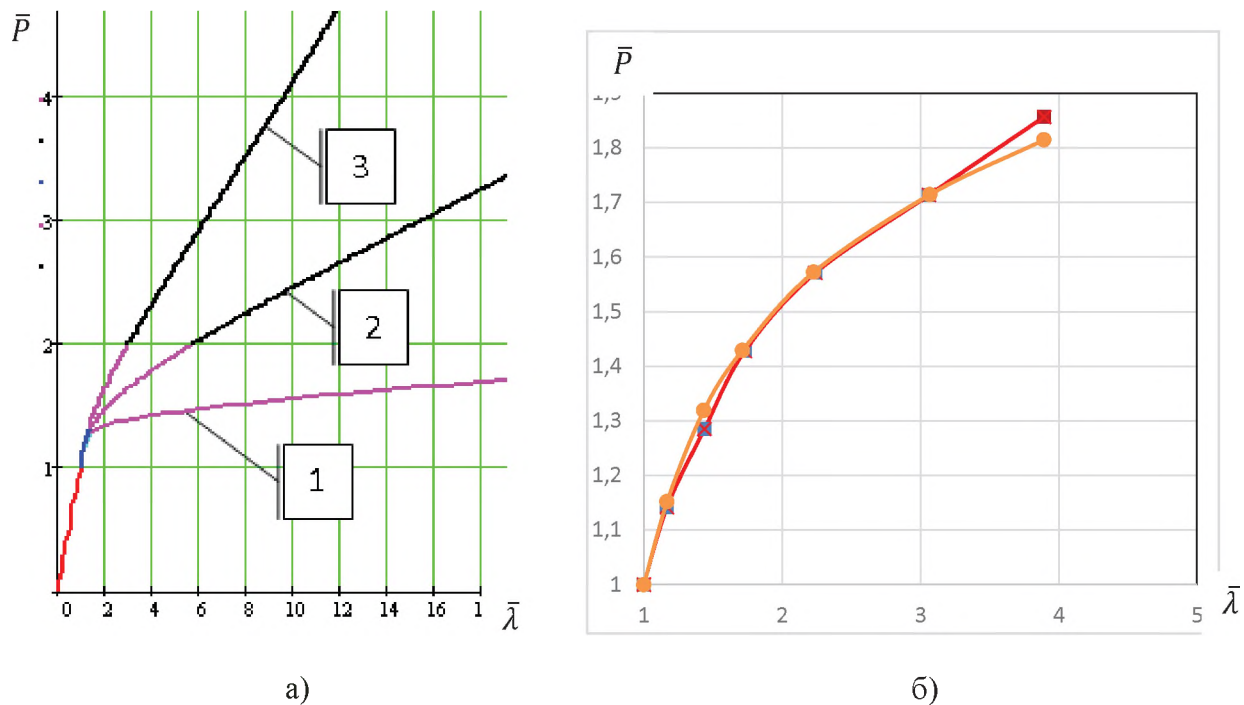


Рис. 1. Характеристические кривые конических пружин в неупругой области их деформирования: а) расчеты выполнены для $\eta = 0,5$, кривые 1,2,3 соответствует параметрам упрочнения n , соответственно, равным 0,01; 0,1; 0,3; б) расчеты выполнены для $\eta = 0,8$, кривые: ● – теория ($n = 0,23$); ■ – эксперимент.

Далее рассмотрим процесс разгрузки и определения реактивных усилий при стесненном формовосстановлении. Как показывают эксперименты [5], появление неупругих фазовых деформаций при нагреве приводит к упрочнению пружины. В результате этого при повторном нагружении пружина ведёт себя практически упруго до величины силы разгрузки $P_{\text{раз}}$. На основании этого при определении величины реактивной силы R , растягивающей пружину после её разгрузки, будем исходить из зависимостей, полученных для данной пружины при её упругой работе. Принимая это положение, а также пренебрегая чисто температурными слагаемыми, нами в работе [4] получено следующее безразмерное выражение:

$$\bar{R}(T) = \frac{\xi \bar{\lambda}_{\text{oct}} C(T)(T - A_H)}{C_M(A_K - A_H)}, \quad (10)$$

где ξ – параметр, характеризующий полноту формовосстановления ($\xi \leq 1$);

$\bar{\lambda}_{\text{oct}} = \lambda_{\text{oct}}(P_{\text{раз}}) / \lambda_{\Phi T}^M$, A_H, A_K – температуры начала и конца аустенитного превращения;

отношение жёсткостей пружины $\frac{C(T)}{C_M} = \frac{G(T)}{G_M}$, где $G(T)$ – значение модуля сдвига материала при температуре нагрева T ; $\bar{R}(T) = R(T) / P_{\Phi T}^M$. Из последней формулы после прохождения

полного интервала температур фазового превращения получаем величину максимальной реактивной силы:

$$\bar{R}(T)_{\max} = \xi \bar{\lambda}_{\text{oct}} \frac{G_A}{G_M}, \quad (11)$$

где G_A – модуль сдвига материала в аустенитном состоянии. На основании формулы (10), для конкретной пружины, рассмотренной в работе [4], построены графики зависимости реактивного усилия R от температуры T для различных величин $\bar{\lambda}_{\text{ост}}$ и ξ , показанные на рис. 2. При этом для этой пружины приняты следующие данные: $G_M = 1,52 \cdot 10^{10}$ Па; $G_A = 2,28 \cdot 10^{10}$ Па; $A_H = 25^\circ\text{C}$; $A_K = 65^\circ\text{C}$.

Из экспериментов получено, что при значении $\bar{\lambda}_{\text{ост}} = 4$ максимальное значение реактивной силы равно 26 Н. Следовательно, безразмерная максимальная величина реактивной силы равна:

$$\bar{R}_{\max} = \frac{R_{\max}}{P_{\phi T}^M} = \frac{26}{4,3} = 6.$$

Этот результат подтверждается поведением линии в) на рис. 2. Аналогичный результат получается и из формулы (11) при значении параметра формовосстановления $\xi = 1$.

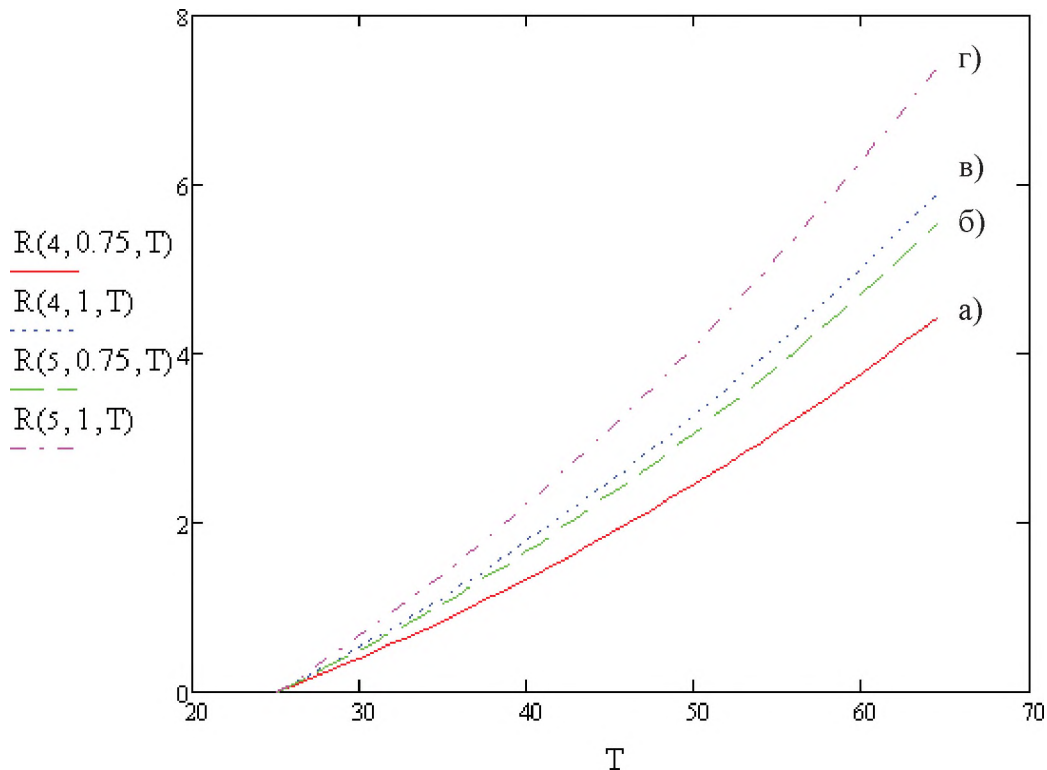


Рис.2. Для линий а), б) $\bar{\lambda}_{\text{ост}} = 4$; при этом для линии а) $\xi = 0,75$; для линии в) $\xi = 1$. Для линий б) и г) $\bar{\lambda}_{\text{ост}} = 5$; при этом для линии б) $\xi = 0,75$; для линии г) $\xi = 1$.

Таким образом, приходим к выводу, что приведённые в работе аналитические результаты адекватно отражают поведение конической пружины с эффектом памяти формы при термосиловом воздействии.

Список литературы

- 1) Пономарев С.Д. Андреева Л.Е. Расчет упругих элементов машин и приборов, Машиностроение, М.: 1980. -325с.
- 2) Абдрахманов С.А. Деформация материалов с памятью формы при термосиловом воздействии. //Бишкек «Илим», 1991, -116с.
- 3) Абдрахманов С.А., Асылбек Абылжапар. Кручение вала в неупругой области деформирования. Известия КГТУ им. Раззакова, №30. Бишкек, 2013 – с. 86-88.

Известия КГТУ им. И.Раззакова 41/2017

4) Абдрахманов С.А., Кожошов Т.Т., Сатыбалдиев Т.А. Экспериментальное определение модуля упругости сплава ТН-20 с использованием конической пружины. Известия КГТУ им. И. Раззакова, №1 (34), 2015, с. 248-252

5) Лихачев В.А., Кузьмин С.Л., Каменцева З.П. Эффект памяти формы. – Л., Изд. ЛГУ.1987, 216 с.